Gonflement døun ballon à paroi épaisse constituée døun matériau hyperélastique incompressible isotrope

Nous considérons un ballon sphérique à paroi épaisse.

Notons R_1 le rayon intérieur et R_2 le rayon extérieur dans la configuration de référence.

La configuration de référence est un état naturel (contraintes initiales nulles).

La pression extérieure reste nulle.

La pression intérieure évolue et est égale à P(t) à løinstant t.

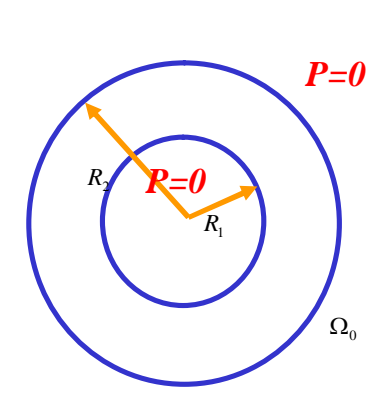
Notons $r_1(t)$ le rayon intérieur et $r_2(t)$ le rayon extérieur dans la configuration actuelle.

Nous nous intéressons aux évolutions isothermes.

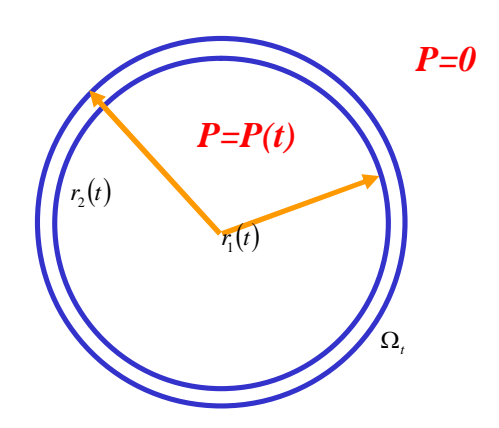
Le matériau constitutif du ballon est hyperélastique incompressible isotrope et son comportement

est donné par la densité massique définergie libre $\Psi(I_1, I_2)$, où $I_1 = tr(\underline{\underline{C}})$ et $I_2 = \frac{1}{2}(I_1^2 - tr(\underline{\underline{C}}.\underline{\underline{C}}))$.

Nous souhaitons déterminer la relation entre P(t) et $r_1(t)$.



Configuration de référence



Configuration actuelle

Question 1:

Nous recherchons les solutions du problème dévolution à symétrie sphérique. Ainsi en notant $\underline{X} = R\underline{e}_r(\theta, \varphi)$ on cherche $\underline{\Phi}(\underline{X}, t)$ sous la forme $\underline{\Phi}(\underline{X}, t) = \underline{\Phi}_r(R, t)\underline{e}_r(\theta, \varphi)$. On rappelle que, en coordonnées sphériques :

$$\underline{\underline{Grad}}(\underline{\Phi}) = \begin{bmatrix} \frac{\partial \Phi_{r}}{\partial R} & \frac{1}{R} \left[\frac{\partial \Phi_{r}}{\partial \varphi} - \Phi_{\varphi} \right] & \frac{1}{R} \left[\frac{1}{\sin \varphi} \frac{\partial \Phi_{r}}{\partial \theta} - \Phi_{\theta} \right] \\ \frac{\partial \Phi_{\varphi}}{\partial R} & \frac{1}{R} \left[\frac{\partial \Phi_{\varphi}}{\partial \varphi} + \Phi_{r} \right] & \frac{1}{R} \left[\frac{1}{\sin \varphi} \frac{\partial \Phi_{\varphi}}{\partial \theta} - \Phi_{\theta} \cot \varphi \right] \\ \frac{\partial \Phi_{\theta}}{\partial R} & \frac{1}{R} \frac{\partial \Phi_{\theta}}{\partial \varphi} & \frac{1}{R} \left[\frac{1}{\sin \varphi} \frac{\partial \Phi_{\theta}}{\partial \theta} + \Phi_{\varphi} \cot \varphi + \Phi_{r} \right] \end{bmatrix}$$

1.a) En exprimant løincompressibilité du matériau, **établir** une équation différentielle sur $\Phi_r(R,t)$.

Réponse 1.a)

En tenant compte de la symétrie sphérique (champs ne dépendant que de $R,~\Phi_\theta=\Phi_\varphi=0~$), il

vient
$$\underline{\underline{F}} = \begin{bmatrix} \frac{\partial \Phi_r}{\partial R} & 0 & 0 \\ 0 & \frac{\Phi_r}{R} & 0 \\ 0 & 0 & \frac{\Phi_r}{R} \end{bmatrix}$$

Loi de comportement hyperélastique <u>incompressible</u> implique det $\underline{\underline{F}} = \frac{\partial \Phi_r}{\partial R} \left(\frac{\Phi_r}{R} \right)^2 = 1$

1.b) En intégrant cette équation **exprimer** $r(t) = \Phi_r(R, t)$ en fonction de $(R, R_1, r_1(t))$ Réponse 1.b)

$$\Phi_r(R,t) = (R^3 + (r_1(t))^3 - R_1^3)^{\frac{1}{3}} = r(t)$$

1.c) **Vérifier** ce résultat en calculant le volume de matériau compris entre les rayons R_1 et R dans la configuration de référence et entre les rayons $r_1(t)$ et $r(t) = \Phi_r(R,t)$ dans la configuration actuelle.

Réponse 1.c)

$$\frac{4\pi}{3} \left[\left(r(t) \right)^{3} - \left(r_{1}(t) \right)^{3} \right] = \frac{4\pi}{3} \left(R^{3} - R_{1}^{3} \right)$$

1.d) **Montrer** que
$$\underline{\underline{F}} = \begin{bmatrix} \frac{r(t)}{R} \end{bmatrix}^{-2} & 0 & 0 \\ 0 & \left[\frac{r(t)}{R} \right] & 0 \\ 0 & 0 & \left[\frac{r(t)}{R} \right] \end{bmatrix}$$

Réponse 1.d)

trivial

Question 2:

Nous supposons que le matériau est néo-hookéen incompressible isotrope, c'est-à-dire que $\rho_0 \Psi(I_1, I_2) = C_{10}(I_1 - 3)$.

2.a) **Montrez** que le champ de contrainte de Cauchy sæxprime à loaide du comportement sous la forme

$$\underline{\underline{\sigma}} = \begin{bmatrix} 2C_{10} \left[\frac{r(t)}{R} \right]^{-4} + c(R,t) & 0 & 0 \\ 0 & 2C_{10} \left[\frac{r(t)}{R} \right]^{2} + c(R,t) & 0 \\ 0 & 0 & 2C_{10} \left[\frac{r(t)}{R} \right]^{2} + c(R,t) \end{bmatrix}$$

Où c(R,t) est un champ scalaire indéterminé.

Réponse 2.a)

$$\underline{\underline{\sigma}} = \rho_0 \left[\left(2 \frac{\partial \Psi}{\partial I_1} + 2I_1 \frac{\partial \Psi}{\partial I_2} \right) \underline{\underline{F}} \cdot \underline{\underline{F}} - 2 \frac{\partial \Psi}{\partial I_2} \underline{\underline{F}} \cdot \underline{\underline{F}} \cdot \underline{\underline{F}} \cdot \underline{\underline{F}} \right] + c\underline{\underline{I}}, c \text{ quelconque}$$

Avec $\rho_0 \Psi(I_1, I_2) = C_{10}(I_1 - 3)$, il vient $\underline{\underline{\sigma}} = 2C_{10}\underline{\underline{F}}$. $\underline{\underline{F}} + c\underline{\underline{I}}$.

Comme
$$\underline{F} = \begin{bmatrix} \frac{r(t)}{R} \end{bmatrix}^{-2} & 0 & 0 \\ 0 & \left[\frac{r(t)}{R} \right] & 0 \\ 0 & 0 & \left[\frac{r(t)}{R} \right] \end{bmatrix}$$

$$\underline{\underline{\sigma}} = \begin{bmatrix} 2C_{10} \left[\frac{r(t)}{R} \right]^{-4} + c(R,t) & 0 & 0 \\ 0 & 2C_{10} \left[\frac{r(t)}{R} \right]^{2} + c(R,t) & 0 \\ 0 & 0 & 2C_{10} \left[\frac{r(t)}{R} \right]^{2} + c(R,t) \end{bmatrix}$$

2.b) Nous avons noté $r(R,t) = (R^3 + (r_1(t))^3 - R_1^3)^{\frac{1}{3}}$.

En faisant le changement de variable $R \to r$, nous avons en inversant cette

relation
$$R(r,t) = (r^3 - (r_1(t))^3 + R_1^3)^{\frac{1}{3}}$$
.

Montrez que le champ de contrainte de Cauchy sœxprime à loaide du comportement sous la forme

$$\underline{\underline{\sigma}}(r,t) = \begin{bmatrix} 2C_{10} \left[\frac{r}{R(r,t)} \right]^{-4} + \tilde{c}(r,t) & 0 & 0 \\ 0 & 2C_{10} \left[\frac{r}{R(r,t)} \right]^{2} + \tilde{c}(r,t) & 0 \\ 0 & 0 & 2C_{10} \left[\frac{r}{R(r,t)} \right]^{2} + \tilde{c}(r,t) \end{bmatrix}$$

Où $\tilde{c}(r,t)$ est un champ scalaire indéterminé.

Réponse 2.b)

trivial

2.c) On rappelle quæn coordonnées sphériques

$$\underline{div}(\underline{\sigma}) = \left[\frac{\partial \sigma_{rr}}{\partial r} + \frac{1}{r} \frac{\partial \sigma_{r\varphi}}{\partial \varphi} + \frac{1}{r \sin \varphi} \frac{\partial \sigma_{r\theta}}{\partial \theta} + \frac{2\sigma_{rr} - \sigma_{\varphi\varphi} - \sigma_{\theta\theta} + \sigma_{r\varphi} \cot \varphi}{r} \right] \underline{e}_{r} \\
+ \left[\frac{\partial \sigma_{r\varphi}}{\partial r} + \frac{1}{r} \frac{\partial \sigma_{\varphi\varphi}}{\partial \varphi} + \frac{1}{r \sin \varphi} \frac{\partial \sigma_{\varphi\theta}}{\partial \theta} + \frac{\left(\sigma_{\varphi\varphi} - \sigma_{\theta\theta}\right) \cot \varphi + 3\sigma_{r\varphi}}{r} \right] \underline{e}_{\varphi} \\
+ \left[\frac{\partial \sigma_{r\theta}}{\partial r} + \frac{1}{r} \frac{\partial \sigma_{\varphi\theta}}{\partial \varphi} + \frac{1}{r \sin \varphi} \frac{\partial \sigma_{\theta\theta}}{\partial \theta} + \frac{3\sigma_{r\theta} + 2\sigma_{\varphi\theta} \cot \varphi}{r} \right] \underline{e}_{\theta}$$

Déterminer $\frac{\partial \widetilde{c}}{\partial r}$ à løaide de løéquilibre en fonction de $\left(C_{10}, \left[\frac{r}{R(r,t)}\right], \frac{\partial}{\partial r} \left(\left[\frac{r}{R(r,t)}\right]^{-4}\right)\right)$

Réponse 2.c)

En tenant compte de la symétrie sphérique

(champs ne dépendant que de r, $\sigma_{\theta\theta}=\sigma_{\varphi\varphi}$, $\sigma_{r\theta}=\sigma_{r\varphi}=\sigma_{\theta\varphi}=0$) lééquilibre se réécrit :

$$\underline{div} \left(\underline{\underline{\sigma}}\right) = \left[\frac{\partial \sigma_{rr}}{\partial r} + \frac{2\sigma_{rr} - 2\sigma_{\theta\theta}}{r}\right] \underline{e}_r = \underline{0}$$

Cela donne:
$$\frac{\partial \tilde{c}}{\partial r} = 2C_{10} \left[-\frac{2}{r} \left[\frac{r}{R(r,t)} \right]^{-4} + \frac{2}{r} \left[\frac{r}{R(r,t)} \right]^{2} - \frac{\partial}{\partial r} \left[\frac{r}{R(r,t)} \right]^{-4} \right]$$

 $\tilde{c}(r,t)$ est déterminé par intégration à une constante (fonction du temps) près.

La constante est choisie pour que $\sigma_{rr}(r_2,t) = 0$

Question 3:

Pour déterminer $\tilde{c}(r,t)$ on peut utiliser la condition aux limites $\sigma_{rr}(r_2,t)=0$ en intégrant légquation ci dessus.

Ensuite, la relation recherchée entre P(t) et $r_1(t)$ serait donnée par $\sigma_{rr}(r_1,t) = -P(t)$.

Ces calculs sont lourds, aussi nous allons utiliser une méthode plus astucieuse.

En remarquant que
$$\sigma_{rr}(r_2) = 0$$
 et $\sigma_{rr}(r_1) = -P$ on a $P = \int_{r_1}^{r_2} \frac{\partial \sigma_{rr}}{\partial r} dr$.

3.a) En utilisant læquation dæquilibre, **exprimer** $P = \int_{r_1}^{r_2} \frac{\partial \sigma_{rr}}{\partial r} dr$ à læaide dæune intégrale ne

faisant pas intervenir $\tilde{c}(r,t)$.

Réponse 3.a)

Løéquilibre søécrit
$$\underline{div}\left(\underline{\underline{\sigma}}\right) = \left[\frac{\partial \sigma_{rr}}{\partial r} + \frac{2\sigma_{rr} - 2\sigma_{\theta\theta}}{r}\right]\underline{e_r} = \underline{0}$$

Ainsi
$$P = \int_{r}^{r_2} \frac{2(\sigma_{\theta\theta} - \sigma_{rr})}{r} dr$$

$$\operatorname{Or} \underline{\underline{\sigma}}(r,t) = \begin{bmatrix} 2C_{10} \left[\frac{r}{R(r,t)} \right]^{-4} + \tilde{c}(r,t) & 0 & 0 \\ \\ 0 & 2C_{10} \left[\frac{r}{R(r,t)} \right]^{2} + \tilde{c}(r,t) & 0 \\ \\ 0 & 0 & 2C_{10} \left[\frac{r}{R(r,t)} \right]^{2} + \tilde{c}(r,t) \end{bmatrix}$$

Donc
$$P = \int_{r_1}^{r_2} 2 C_{10} \left[-\frac{2}{r} \left[\frac{r}{R(r)} \right]^{-4} + \frac{2}{r} \left[\frac{r}{R(r)} \right]^2 \right] dr$$
, avec $r_2 = \left(R_2^3 + \left(r_1 \right)^3 - R_1^3 \right)^{\frac{1}{3}}$ et

$$R(r) = (r^3 - (r_1)^3 + R_1^3)^{\frac{1}{3}}$$

3.b) En **déduire** P exprimé à loaide donne intégrale de $\lambda_1 = \frac{r_1}{R}$ à

$$\lambda_2(\lambda_1) = \frac{r_2}{R_1} = \frac{\left(R_2^3 + \left(r_1\right)^3 - R_1^3\right)^{\frac{1}{3}}}{R_1}, \text{ downe grandeur function de } \left(C_{10}, \lambda = \frac{r}{R_1}, \rho(\lambda)\right)$$

où
$$\rho(\lambda) = (\lambda^3 - (\lambda_1)^3 + 1)^{\frac{1}{3}}$$

Réponse 3.b)

Evident avec le changement de variable $\lambda = \frac{r}{R}$, dans løintégrale.

3.c)Lorsque l

gon fait l

gapproximation de paroi mince, on montre que

$$P(\lambda_1) = \frac{4(R_2 - R_1)C_{10}}{R_1} \left(\frac{1}{\lambda_1} - \frac{1}{{\lambda_1}^7}\right) \text{ avec } \lambda_1 = \frac{r_1}{R_1}. \text{ V\'erifier que le résultat de la question 3.b est}$$

cohérent avec cette approximation.

Réponse 3.c)

En notant
$$\frac{r}{R} = \lambda$$
 et $r_2 - r_1 = e = \frac{E}{\lambda^2}$, nous avons $r \approx \lambda R_1$

En approchant la fonction à intégrer par une constante on a

$$P(\lambda_1) \approx (r_2 - r_1) 2C_{10} \left| -\frac{2}{r} \left[\frac{r}{R(r)} \right]^{-4} + \frac{2}{r} \left[\frac{r}{R(r)} \right]^2 \right| \approx \frac{4EC_{10}}{R_1} \left(\frac{1}{\lambda} - \frac{1}{\lambda^7} \right)$$

Les résultats sont cohérents

3.d) On revient aux ballons à paroi épaisse. Tracer les courbes

$$P(r_1) = \int_{r_1}^{r_2(r_1)} 2C_{10} \left[-\frac{2}{r} \left[\frac{r}{R(r)} \right]^{-4} + \frac{2}{r} \left[\frac{r}{R(r)} \right]^2 \right] dr \text{ avec les valeurs suivantes de } \frac{R_2}{R_1} = 2, \frac{R_2}{R_1} = 1, 5, \frac{R_2}{R_1} = 1, 1 \text{ et } \frac{R_2}{R_1} = 1, 01.$$

Comparer avec løapproximation de paroi mince et commenter. Je ne løai pas fait.